

宮崎大学工学部 正員 吉高 益男

○はじめに 最近工業地帯造成のため水深9m~10mのところに直立護岸を設け、この護岸を構造用に利用しようとすることが多い。この場合護岸を二重にして埋立地を保護しようとする構造があり、これについて神戸大学で研究されている。(田中茂、杉本修一：“水深が大きい埋立地護岸に作用する波浪防策に関する研究”；第12回海岸工学講演会；昭和40年11月)

鹿児島商船事業団で行われて以来、宇治川河口埋立工事はシラスを水搬送工法により運搬し埋立てて、これもかくして、護岸位置の水深は-20mをこえていて、かなりの起伏が予想される。しかし観光上おしゃれな天端をあまり高くしない石の堤防がある。このため二重護岸構造を考えられた。この構造の機能はまだ明確でないため宮崎大学にて実験を行った。

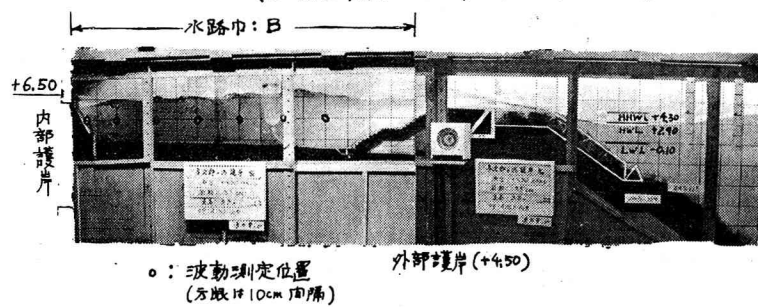
この構造は既存護岸の変形が多いが、透湿度の性質を調べるにかかる多く、透過後の波動はあまり調べられていない。最近東京大学においてこの波動を調べ、潜堤不一種の波起しの段階として規則波を発生させ、それと減衰させた津波に加わって透過後の波動に向うとしている。(鶴川清司、小林修藏：“潜堤による風波の減衰機構について”；第15回海岸工学講演会；昭和43年12月)

この実験では外部護岸天端中も広く、水面上にも出ていたので、これを越えた波による水城水形成され、その部分が副振動周期と同調し共振をおこすことをありると想定し、波動の周周期分析を行つてみた。明確な結果は出なかつたが、水路部の水面波動について若干の傾向を知りえたので、ここに報告する。

○実験方法 当時の長さ30m、中1.15m、高さ1.2mの二次元造波水路に図-1のようく1/30模型を設置した。護岸水路中は浦面(HWL,+2.90)で長さをとり1.75m, 1.58m, 1.38m, 1.18m(以下1.8B, 1.6B, 1.4B, 1.2Bとよぶ)として。実験波の周期は1.37sec, 1.00sec(現地: 7.5sec, 5.5sec), 波高は12.7cm, 14.0cm(現地: 3.8m, 4.2m)を主とした。水路内波動は図-1の位置(20cm間隔、水路中により増減)にて容量式波高計により測定。このもじ線を $t=0.09375\text{ sec}$ 間隔に読みとり、宮崎大学電子計算機(FACOM 270-20/30)にてパワー・スペクトルを計算した。なお内部護岸の越波量を測定したが、これは波を相当充てた後波動が通常はおろつたと思われたときを定めた。

図-1 実験水路および波動状況

(B=1.58m, 潮位:+4.30m, Hs=12.7cm, T=1.37sec)



○波動状況 図-1のようによく同時に生ずる3波の峰の波長は15cm~25cmと60cm~80cmの場合がある。T=1.00secの場合には大体30cm~40cmである。

水深 20cm の T=1.37sec の半周期 (0.69sec), 四半周期 (0.34sec) と 1.00sec の半周期 (0.5sec) の波高は 70cm, 20cm, 40cm であり大体同じ大きさで半周期, 四半周期の波が重なった。

波動記録の一例を図-2 に、そのパワー・スペクトルを図-3 に示す。外部護岸と越えられた部分は平均水位上下で谷よりも大きく昇り、水路を進むにつれて谷の下りが大きくなり、内部護岸附近では両の谷の上昇が大きくなる。水塊が内部護岸に打たれると水路全体として一つの振動玉は 3.74m である。この波長 1.2m~1.4m は T=1.37sec の外海波長 2.8m (水深 8.3cm) の半分程度である。

パワー・スペクトル (図-3) の 5 波と周期 (1.37sec) のパワー密度は越えていくほど大きくなるが、かくかく減少していく 0.4m 波では小さくなる。そして内部護岸前 (0.4m 波) では大きくなる。半周期 (0.69sec) のパワー密度は外部護岸よりは同じ程度であるが、0.2m 波で消え護岸前で大きくなる。四半周期 (0.34sec) は擾乱波と打ち水 1.0m 波、0.4m 波、0.8m 波と同じであるが、半周期の方は 0.2m 波で最も強くあらはれていく。波動エネルギーは越えてきて大きくなるが、かくかく減少し、また護岸前で越えたら大きくなりや、小さくなる様度で減っていく。水路全体としての波動エネルギーは全体に均等化される、割據効果により部分的に消えさせられてしまう。

内護岸前の波動は期待していなかったが、かくかく減る。一方 0.4m 波の波動は内護岸面ではより大きくなり、跳ね出す。

○ 水路中に現るパワー・スペクトル変化

エネルギーが比較的小さくなる 0.2m 波、0.4m 波のパワー・スペクトルを水路中の進み方によって整理してみると図-4 のようになる。これは周期 (1.37sec), 半周期 (0.69sec) のうちの大さのものを 100% としてパワー密度

図-2 水路内波動

(B=158cm, 平均水位: +4.30m, H_o=14.6cm, T=1.37sec)

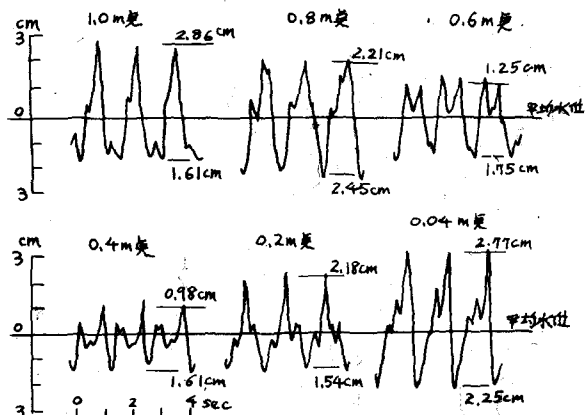
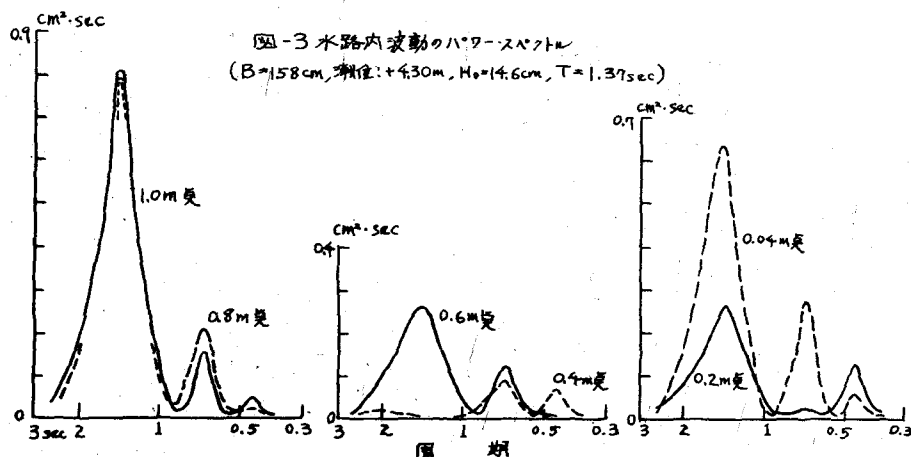


図-3 水路内波動のパワー・スペクトル

(B=158cm, 平均水位: +4.30m, H_o=14.6cm, T=1.37sec)



度の割合を図示したものである。他の位置では 1° ワースペクトルは大体同じ傾向をもつている。

0.2m 変では $1.8B$ は原周期 + 4 であり $1.6B$ で四半周期が生じ、 $1.4B$ で四半周期の割合は大きくなり八半周期もあらはれる。 $1.2B$ では半周期が最大となり、各周期が乱立して乱化ははげしくなる。実験水槽中か $1.15m$ であり、水路部は正方形に近くである。その左右横方向の壁もはり難音がみられるようになっている。

0.4m 変では $1.8B$ は原周期もそれより多くて 1.3 上に半周期、四半周期の割合がより大きくなっている。 $1.6B$ で四半周期は少し小さくなるだけだが、原周期は多くなる。 $1.4B$, $1.2B$ は半周期が卓越して難音は消えている。

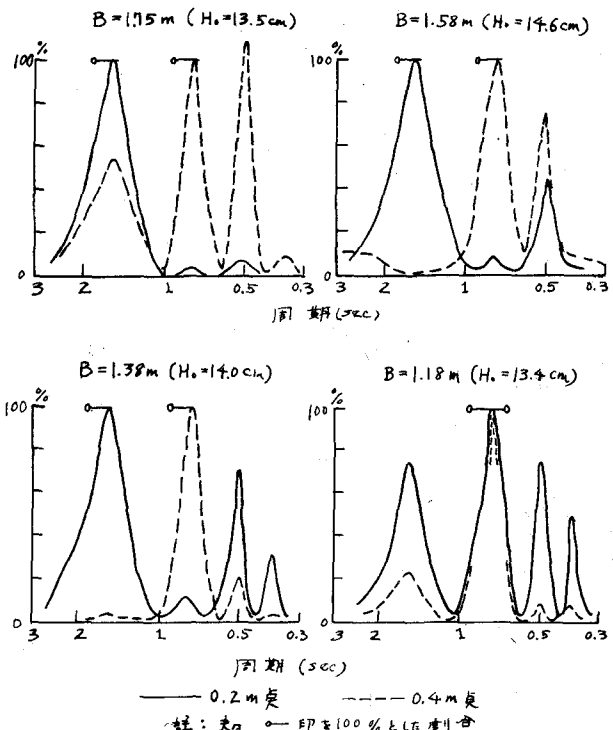
こゝまでは $1.8B$ と $1.2B$ は傾向が逆となり、 $1.6B$, $1.4B$ はその中間に示してある。そして $1.8B$ の $0.4m$ 変、 $1.2B$ の $0.2m$ 変のように小さな周期のはりてから 1.3 は波高自身は小さいようである。 $1.8B$, $1.2B$ のように 1.3 の周期のはり子ものは、 1.3 の外力からはりやすく比較的共振を起しやすいものである。

○各地点におけるパワー密度と波高比の変化

原周期と半周期のパワー密度は各地点において図-5 のように変化している。図-5 には波高比の変化も図示してある。水路内の波高は図-2 のようにして求めた波高 H_0 に対する出波高比とした。これは沿岸における遠通率における各地点で達していることは当然である。 $T=1.37sec$ で平均的出波高比は約 0.25 であり全体の消波効果はよい。

波高比の分布はやや難解であるが原周期と半周期の合成によって帶されると同じである。 $T=1.37sec$ の原周期のパワー密度は内部護岸前で大きく、それが減少して $0.4m$ で 0 に近い。それより遠くでは最初に $1.0m$ で極大となり $1.5m$ 近くで 0 になる。 $1.8B$ では内部護岸と $1.5m$ 間にあって 2 節の副振動の波高分布は傾向が同じである。 $1.6B$ でも約 $1.4m$ 間でそのよう直線化となる。 $T=1.37sec$, $+4.30$ 潜在では水路水深は約 $20m$ であるから、2 節の副振動周期正弦長 $= 1.5m$, $1.4m$ として $T = 4\pi / (2m-1)\sqrt{g}h$ (m : 断面数, h : 水深) により計算すると $T = 1.42sec$, $1.33sec$ となる。 $1.8B$, $1.6B$ は原周期により共振がおこる可能性もある。内外護岸近くの前面は大きい。 $1.4B$, $1.2B$ はパワー密度変化が完全な副振動型であるが其振幅ははげしくない。半周期では $1.8B$ が $1.25m$ 間で 3 節、 $1.6B$ が $1.2m$ 間で 2 節の副振動型変化である。副振動周期は大々 $0.72sec$, $1.14sec$ と

図-4 水路巾に $+4.30$ - スペクトルの変化
(潮位: $+4.30m$, $T=1.37sec$)



あり、半周期は $1.8B$ のとき共振をおこし、波高に強く影響していります。共振を起こすとは、もし周期倍倍でなければいけないこのパワー密度は小さくなることと、他の場合は共振以外の条件によりパワー密度が大きくなるに説明できます。

$T=1.00\text{ sec}$ のときの周期はおよそ 0.8 m 内部海岸の副振動型になります。このとき水路水深は約 18 cm であり、副振動周期は 0.8 sec で共振には及んでいません。半周期のときは共振が影響で弱くなります。

このように $T=1.37\text{ sec}$ で共振(ややり)は周期、半周期とも $1.8B$ のときで、波高も大きくなっています。このとき外洋より $1.5m$ 長さでの波動は弱めであり、長周期で震まで影響してしまいます。

沖水路の越波と水路の歸り波がハーモニクスをとる地盤は $1.8B$ で外部海岸の水路側の角であります。 $1.2B$ は外洋側の角であります。天端中心は 30 cm あるらず水路中を短くして外部水域を拡張したことによってかねばなります。

○ 内部海岸越波量 内部海岸天端と水路水位との差 d により越波量を整理すると図-6 とあります。 Q_o は単位時間単位幅あたり陸側と輸送された水量 $H_o L_o / 2\pi$ である。 Q_o は $10^{-3} \sim 2 \times 10^{-3}$ の範囲であります。また時じきかは ~ 3 程度といわれています。

$1.8B$, $1.6B$ の場合はやはり多くなっており、 $1.4B$ の量も少しく、 $1.2B$ は中间にある。これは波動の性質から当然であります。 $T=1.00\text{ sec}$ と $1.6B$ が $1.4B$ より少い。 $1.4B$ は活動計算をしなかつて $T=1.00\text{ sec}$ に共振するものであつたのであります。

○ おわりに この検討は粗かつたつたつで、今後改良してみたい。この実験は鹿児島港事業団の依頼によるもので、この機会をあたえて下さつたことに感謝し、振内理事はじめ職員の方々に深く感謝の意を表します。

図-5 周期と半周期のパワー密度
および波高比変化

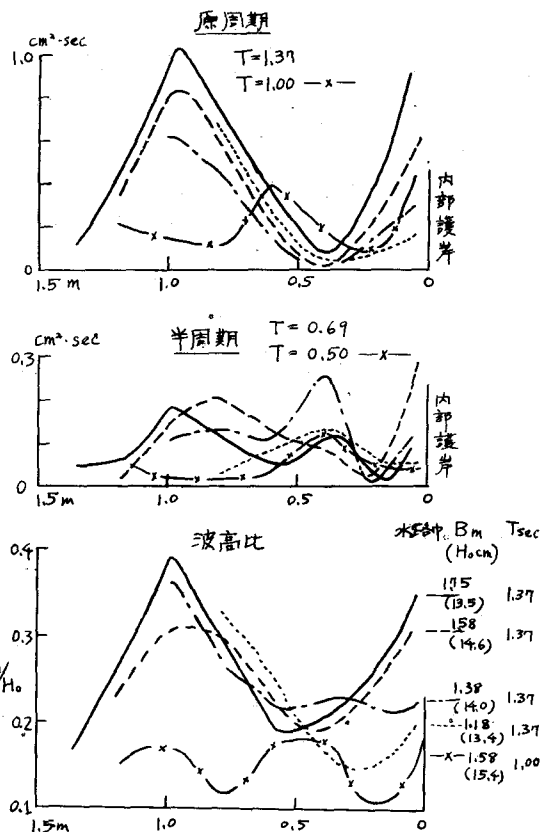


図-6 内部海岸の越波量(無次元)

